

СООБЩЕНИЯ
ОБЪЕДИНЕННОГО
ИНСТИТУТА
ЯДЕРНЫХ
ИССЛЕДОВАНИЙ

ДУБНА



СЗ41а

A-441

19/44-76

P4 - 9672

2732/2-76

С.В.Акулиничев, Л.А.Малов

ИССЛЕДОВАНИЕ

ЭЛЕКТРОМАГНИТНЫХ ПЕРЕХОДОВ

В НЕЧЕТНЫХ ДЕФОРМИРОВАННЫХ ЯДРАХ

ПРИ СРЕДНИХ И ВЫСОКИХ

ЭНЕРГИЯХ ВОЗБУЖДЕНИЯ

1976

P4 - 9672

С.В.Акулиничев, Л.А.Малов

**ИССЛЕДОВАНИЕ
ЭЛЕКТРОМАГНИТНЫХ ПЕРЕХОДОВ
В НЕЧЕТНЫХ ДЕФОРМИРОВАННЫХ ЯДРАХ
ПРИ СРЕДНИХ И ВЫСОКИХ
ЭНЕРГИЯХ ВОЗБУЖДЕНИЯ**

1. Введение

В настоящее время для описания свойств сложных ядер широко используется полумикроскопический подход^{1,2}. Развита в рамках этого подхода сверхтекучая модель ядра, учитывающая парные корреляции нуклонов и остаточное мультиполь-мультипольное взаимодействие, хорошо описывает нижайшие состояния деформированных ядер³. Определив энергию и структуру таких состояний, можно рассчитать характеристики различных процессов /вероятности электромагнитных переходов и β -распада, сечения ядерных реакций и т.д./. Однако с ростом энергии возбуждения ядер происходит резкое увеличение плотности и усложнение структуры состояний. В таких условиях описание свойств каждого уровня в отдельности теряет свое значение. К тому же усложняется сама проблема решения уравнения на собственные значения. Поэтому при промежуточных и высоких энергиях возбуждения обычно используются для описания ядер силовые функции и другие усредненные характеристики.

В настоящей работе рассмотрен способ, позволяющий описывать электромагнитные переходы в нечетных деформированных ядрах без решения уравнения на собственные значения.

Данный метод применим для изучения переходов между состояниями как низкой, так и промежуточной и высокой энергий возбуждения ядра. Интерес представляет применение его для изучения гигантских резонансов и γ -ширин нейтронных резонансов, исследования зависимости γ -ширин от энергии возбуждения ядра.

2. Общий формализм *

Гамильтониан, учитывающий взаимодействие квази-частиц с фонанами, имеет вид:

$$\begin{aligned}
 H_{\nu q} = & \sum_s \epsilon(s) B(s, s) - \frac{1}{2} \sum_{\lambda, \mu, i} \frac{Q_i^+(\lambda \mu) Q_i(\lambda \mu)}{2 \kappa^{(\lambda)} Y_i(\lambda \mu)} - \\
 & - \frac{1}{2} \sum_{\lambda, \mu, i} \frac{1}{\sqrt{Y_i(\lambda \mu)}} \sum_{s, s'} v_{ss'} \{ f^{\lambda \mu}(ss') B(s, s') [Q_i^+(\lambda \mu) + \\
 & + Q_i(\lambda \mu)] + \text{э.с.} \}.
 \end{aligned} \tag{1}$$

Здесь использованы обозначения: $\epsilon(s)$ - энергия одно-квазичастичного состояния;

$$B(s, s') = \sum_{\sigma} a_{s\sigma}^+ a_{s'\sigma} \quad \text{или} \quad = \sum_{\sigma} \sigma a_{s-\sigma}^+ a_{s'\sigma};$$

$a_{s\sigma}^+$ - оператор рождения квазичастицы, σ - знак проекции момента квазичастицы на ось симметрии ядра; $Q_i^+(\lambda \mu)$ - оператор рождения фонана в четно-четном ядре, i - номер однофононного состояния мультипольности $\lambda \mu$; $Y_i(\lambda \mu)$ - характеристика коллективности фонана; $\kappa^{(\lambda)}$ - константа мультиполь-мультипольного взаимодействия; $f^q(ss')$ и $f^{\bar{q}}(ss')$ - симметричный и антисимметричный одночастичные матричные элементы, $q = \lambda \mu$;

$$v_{ss'} = u_s u_{s'} - v_s v_{s'},$$

u_s, v_s - коэффициенты преобразования Боголюбова. В дальнейшем используется квазибозонное приближение и не учитываются: блокировка в нечетном ядре, кориолисово взаимодействие, рассеяние фонана на фоне. При таком описании в нечетном ядре нет свободных параметров по сравнению с четным ядром. Волновую функцию, описывающую неротационное состояние с определенным K^π , можно представить в виде:

* В этой части используются данные работы ¹.

$$\Psi(K^\pi) = \frac{1}{\sqrt{2}} \sum_{\rho} \{ \sum_{\sigma} C_{\rho} a_{\rho\sigma}^+ + \sum_{g,\nu} D_{\nu\sigma}^g a_{\nu\sigma}^+ Q_g^+ \} \Psi_0, \quad /2/$$

где $g = \lambda \mu i$, Ψ_0 - физический вакуум. Волновая функция нечетной системы нуклонов не является собственной функцией оператора отражения времени ¹⁴. Поэтому для описания электромагнитных переходов в нечетном ядре нужно включить кроме функции /2/ еще и функцию:

$$\bar{\Psi}(K^\pi) \equiv T \Psi(K^\pi) \quad /2' /$$

Для расчета вероятности электромагнитных переходов удобнее вместо /2/ и /2'/ использовать функции:

$$\Psi(K^\pi) = \{ \sum_{\rho} C_{\rho} a_{\rho+}^+ + \sum_{g,\nu,\sigma} D_{\nu\sigma}^g a_{\nu\sigma}^+ Q_g^+ \} \Psi_0 \quad /3/$$

$$\bar{\Psi}(K^\pi) = \{ \sum_{\rho} C_{\rho} a_{\rho-}^+ + \sum_{g,\nu,\sigma} \tilde{D}_{\nu\sigma}^g a_{\nu\sigma}^+ Q_g^+ \} \Psi_0 \equiv T \Psi(K^\pi), \quad /3' /$$

где $D_{\nu+}^g$ соответствует $f^g(\rho\nu)$, а $D_{\nu-}^g = -\bar{f}^g(\rho\nu)$ /для $\tilde{D}_{\nu\sigma}^g$ - наоборот/.

В дальнейшем для наглядности ограничимся функциями вида /3/.

Условие нормировки имеет вид:

$$\sum_{\rho} C_{\rho}^2 + \sum_{g,\nu} (D_{\nu}^g)^2 = 1. \quad /4/$$

Взяв среднее значение гамильтониана /1/ по волновым функциям /3/ или /2/ и применив вариационный принцип, получаем секулярное уравнение для энергии состояния:

$$F(\eta) \equiv \begin{vmatrix} F_1(\eta) & V_{1,2}(\eta) & \dots & V_{1,N}(\eta) \\ \dots & \dots & \dots & \dots \\ V_{N,1}(\eta) & \dots & \dots & F_N(\eta) \end{vmatrix} = 0, \quad /5/$$

где N - количество ρ в волновой функции;

$$F_i(\eta) = \epsilon(\rho_i) - \eta + V_{i,i}(\eta) \quad /5'/$$

$$V_{i,i}(\eta) = - \sum_{\rho, \nu} \frac{f^q(\rho, \nu) f^q(\rho_j, \nu) v_{\rho_i \nu} v_{\rho_j \nu}}{4Y(g)(\epsilon(\nu) + \omega(g) - \eta)}, \quad V_{j,i}(\eta) = V_{i,j}(\eta).$$

Непосредственно из вариационного принципа получаются также следующие соотношения:

$$D_{\nu}^{\rho} = \sum_{\rho} C_{\rho} \frac{f^q(\rho, \nu) v_{\rho \nu}}{2 \sqrt{Y(g)(\epsilon(\nu) + \omega(g) - \eta)}} = \sum_{\rho} C_{\rho} D_{\rho \nu}^{\rho} \quad /6'/$$

$$F_i(\eta) C_{\rho_i} = - \sum_{j \neq i} C_{\rho_j} V_{i,j}(\eta).$$

3. Силовая функция электромагнитных переходов

Приведенная вероятность $E\lambda$ -перехода из состояния i в состояние f в одночастичных единицах имеет вид:

$$B(E\lambda)_{s.p.u.} = (I_i K_i \lambda \mu | I_f K_f)^2 < f | \mathfrak{M}(E\lambda) | i >^2 / b_{s.p.}^{\lambda} \quad /7'/$$

Для описания $E\lambda$ -переходов из состояний, находящихся в некоторой области энергий, на фиксированное состояние f можно использовать силовую функцию

$$b(\xi) = \overline{B}_{\Lambda}(E\lambda, \xi) = \sum_i f | \mathfrak{M}(E\lambda) | i >^2 \rho(\eta_i - \xi), \quad /8'/$$

где ξ - интересующая нас энергия,

$$\rho(\eta_i - \xi) = \frac{\Lambda}{2\pi} \frac{1}{(\xi - \eta_i)^2 + (\Lambda/2)^2} -$$

- нормированная весовая функция, выбранная для удобства в виде функции Лоренца, Λ - энергетический интервал усреднения. В /8/ опущен коэффициент векторного сложения, суммирование в /8/ проводится по всем состояниям ядра.

Ясно, что силовая функция /8/ с соответствующим коэффициентом векторного сложения описывает и процесс возбуждения состояний i из фиксированного состояния l . Покажем, что функцию /8/ можно представить в виде:

$$b(\xi) = \sum_i \frac{f(\eta_i)}{F'(\eta_i)} \rho(\eta_i - \xi), \quad /9/$$

где $F(\eta)$ - левая часть уравнения /5/, т.е. $F(\eta_i) = 0$, $f(\eta)$ - некоторая аналитическая функция. Рассмотрение можно провести для волновых функций начального состояния Ψ_i с произвольным числом ρ .

Возьмем для наглядности волновые функции в следующем виде:

$$\Psi_i(K_i^{\pi_i}) = \{ C_{\rho_1} \alpha_{\rho_1}^+ + C_{\rho_2} \alpha_{\rho_2}^+ + \sum_{\mu, \nu} D_{\mu, \nu}^{\mu} \alpha_{\nu}^+ Q_{\mu}^{\dagger} \} \Psi_0. \quad /10/$$

Значок σ опущен в силу соображений, приведенных в связи с формулами /3/ и /3'/. Используя /6/, можно записать условие нормировки следующим образом:

$$1 = C_{\rho_1}^2 \left(1 + \sum_{\mu, \nu} (D_{\rho_1, \nu}^{\mu})^2 \right) + C_{\rho_2}^2 \left(1 + \sum_{\mu, \nu} (D_{\rho_2, \nu}^{\mu})^2 \right) + 2 C_{\rho_1} C_{\rho_2} \sum_{\mu, \nu} D_{\rho_1, \nu}^{\mu} D_{\rho_2, \nu}^{\mu} \quad /11/$$

Из /5/ и /6/ следует:

$$F'(\eta) = F_1'(\eta) F_2(\eta) + F_2'(\eta) F_1(\eta) - 2 V_{1,2}(\eta) V_{1,2}'(\eta) - F_{1,2}'(\eta) = 1 + \sum_{\mu, \nu} (D_{\rho_{1,2}, \nu}^{\mu})^2 \quad /12/$$

$$- V_{1,2}'(\eta) = \sum_{\mu, \nu} D_{\rho_1, \nu}^{\mu} D_{\rho_2, \nu}^{\mu}.$$

Из соотношений /12/ и /16/ получаем

$$C_{\rho_1}^2 = - \frac{F_2(\eta)}{F'(\eta)}; \quad C_{\rho_2}^2 = - \frac{F_1(\eta)}{F'(\eta)}; \quad C_{\rho_1} C_{\rho_2} = - \frac{V_{1,2}}{F'(\eta)}. \quad /13/$$

Следует подчеркнуть, что приведенные выше преобразования справедливы при значениях η , являющихся решениями уравнения /5/. Но в формулу /9/ как раз и входят эти значения η . На случай произвольного количества ρ соотношения /13/ можно обобщить так:

$$C_{\rho_k} C_{\rho_\ell} = -(-1)^{k+\ell} \frac{\Delta_{k,\ell}(\eta)}{F'(\eta)}, \quad /14/$$

где $\Delta_{k,\ell}(\eta)$ - минор матрицы /5/ с вычеркнутыми k -столбцом и ℓ -строкой.

Для квадрата матричного элемента в формуле /8/ имеем /1/:

$$\begin{aligned} \langle f | \mathbb{M}(E\lambda) | i \rangle^2 &= \sum_{k,\ell} C_{\rho_k}^{(i)} C_{\rho_\ell}^{(i)} f_{\rho_k}(\eta_i) f_{\rho_\ell}(\eta_i) /15/ \\ f_{\rho_k}(\eta_i) &= \sum_n C_{\rho_n}^{(f)} [f^{\lambda\mu}(\rho_k \rho_n) v_{\rho_k \rho_n} e e_{eff} + \sum_j (D_{\rho_k \rho_n}^{(i)\lambda\mu j} + \\ &+ D_{\rho_n \rho_k}^{(f)\lambda\mu j}) M^{\lambda\mu j} + \sum_{\nu,\nu'} D_{\rho_k \nu}^{(i)g} D_{\rho_n \nu'}^{(f)g} f^{\lambda\mu}(\nu\nu') v_{\nu\nu'} e e_{eff}]. \end{aligned} \quad /15'/$$

Здесь использованы обозначения: e - электрический заряд протона; e_{eff} - эффективный заряд; $M^{\lambda\mu j}$ - матричный элемент однофононного перехода в четно-четном ядре; $C_{\rho_k}^{(i)}$, $D_{\rho_k \nu}^{(i)g}$, $C_{\rho_n}^{(f)}$, $D_{\rho_n \nu'}^{(f)g}$ - коэффициенты в волновых функциях соответственно Ψ_i и Ψ_f . Из уравнений /14/ и /15/ получаем требуемое соотношение /9/. Известно, что для аналитической функции сумма вычетов во всех полюсах, включая вычеты в бесконечности, равна нулю. Функцию /9/ можно представить, как сумму вычетов функции

$$S(z) = \frac{f(z)}{F(z)} \rho(z - \xi) \quad /16/$$

в полюсах первого порядка η_i , в которых $F(\eta) = 0$. Следовательно, функция /9/ может быть получена, если известны вычеты функции комплексного переменного /16/ во всех остальных полюсах. Вычет в ∞ равен нулю,

что видно из /5/ и /5'/. Функция $\rho(z - \xi)$ имеет два полюса первого порядка в точках

$$z_{1,2} = \xi \pm i\Lambda/2. \quad /17/$$

Сумма вычетов в этих двух полюсах имеет вид

$$\operatorname{res}_{z_1} \{S(z)\} + \operatorname{res}_{z_2} \{S(z)\} = \frac{1}{\pi} \operatorname{Im} \left(\frac{f(z)}{F(z)} \rho(z - \xi) \right)_{z = \xi + i\Lambda/2}. \quad /18/$$

Теперь осталось рассмотреть полюса функции $f(z)$ из /16/. Эту функцию, следуя /14/, /15/ и /15'/, можно записать так:

$$f(z) = - \sum_{k,l} (-1)^{k+l} \Lambda_{k,l}(z) f_{\rho_k}(z) f_{\rho_l}(z). \quad /19/$$

Из вида функций $\Lambda_{k,l}(z)$ и $f_{\rho_k}(z)$ следует, что оставшиеся полюса находятся в точках действительной оси

$$\eta_0 = \epsilon(\nu_0) + \omega(g_0). \quad /20/$$

Можно показать, что в указанных точках полюса имеют первый порядок и вычеты в этих полюсах имеют вид:

$$\begin{aligned} \operatorname{res}_{\eta_0} \{S(z)\} &= \rho(\epsilon(\nu_0) + \omega(g_0) - \xi) \left\{ \sum_n C_{\rho_n}^{(f)} [\delta(g_0, \lambda_{\mu j}) \times \right. \\ &\times \delta(\nu_0, \rho_k) M^{\lambda_{\mu j}} + \sum_{g, \nu, \nu'} D_{\rho_n}^{(f)g} f^{\lambda_{\mu}}(\nu \nu') e e_{\text{eff}}^{\nu, \nu'} \times \\ &\left. \times \delta(g, g_0) \delta(\nu', \nu_0) \right\}. \quad /21/ \end{aligned}$$

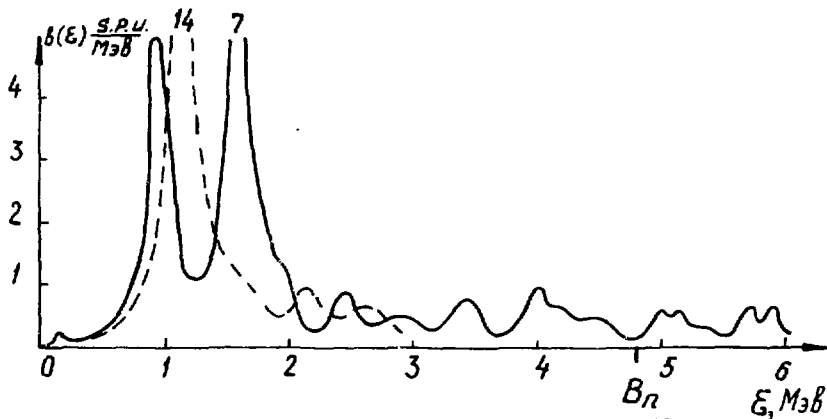
Таким образом, искомого силовую функцию электромагнитного перехода можно рассчитать по формуле

$$\begin{aligned} \overline{B}_{\Lambda}(E\lambda, \xi) &= \frac{1}{\pi} \operatorname{Im} \left(\frac{f(z)}{F(z)} \rho(z - \xi) \right)_{z = \xi + i\Lambda/2} + \\ &+ \sum_{\eta_0} \operatorname{res}_{\eta_0} \left\{ \frac{f(z)}{F(z)} \rho(z - \xi) \right\}. \quad /22/ \end{aligned}$$

где все входящие величины задаются соотношениями /5/, /15/, /19/ и /21/.

Из определения $B_{\Lambda}(E, \xi)$ и из того, что $\rho(\eta - \xi)$ -непрерывная, нормированная на единицу функция, следует, что интеграл от функции /22/ по какому-либо энергетическому интервалу равен приведенной вероятности переходов из состояний, находящихся в этом интервале.

На рисунке приведен расчет для ^{239}U силовой функции E2-переходов с уровнями $K^{\pi} = 1/2^{+}$ на основное состояние $K^{\pi} = 5/2^{+}$. В расчетах учитывалось 50 нейтронных и столько же протонных уровней среднего поля. Параметр усреднения $\Lambda = 0,2 \text{ МэВ}$. Для сравнения пунктиром приведена аналогичная величина $B_{\Lambda}(E, \xi)$ для переходов с состояний $K^{\pi} = 2^{+}$ на основное состояние в ядре ^{238}U . Взяв Λ значительно меньшим расстояния между состояниями с данным K^{π} , можно определить приведенную вероятность переходов между такими состояниями. Если Λ больше среднего расстояния между уровнями, то, как указывалось выше, расчет дает силу перехода из всех состояний выбранного энергетического интервала. В соответствии с этим пики, которые видны на рисунке при $\xi > 3 \text{ МэВ}$, соответствуют переходам из групп состояний.



Силовая функция E2-переходов с $\Delta K=2$ для ^{238}U и ^{239}U .

Таблица

E2 - переходы $K^{\pi} = 1/2^{+}$, $K^{\pi} = 5/2^{+}$ в ^{239}U

Энергии состояний, кэВ		B(E2) с.р.п.
Теория	Эксперимент	
170	133	$0,2 \cdot 10^{-2}$
980	700	1,7
/4,8 - 5,3/ $\cdot 10^3$	-	0,18

В таблице даны приведенные вероятности как для переходов из индивидуальных состояний, так и для переходов из энергетического интервала.

Расширив базис одночастичных уровней, можно провести исследование гигантских резонансов в нечетных ядрах. Рассмотренный метод исследования электромагнитных переходов применим и для четно-четных деформированных ядер /изменится лишь конкретный вид полюсов и вычетов в этих полюсах/. Можно распространить его и на сферические ядра.

В заключение благодарим В.Г.Соловьева за полезные обсуждения и внимание к работе.

Литература

1. В.Г.Соловьев. Теория сложных ядер. М., Наука, 1971.
2. S.T.Belyaev. *Mat. Fys. Medd. Dan. Vid. Selsk.*, 31, no. 11 /1959/; L.S.Kisslinger, R.A.Sorensen. *Mat. Fys. Medd. Dan. Vid. Selsk.*, 32, no. 9 /1960/.
А.Б.Мигдал. Теория конечных ферми-систем и свойства атомных ядер. М., Наука, 1965;
3. Е.П.Григорьев, В.Г.Соловьев. Структура четных деформированных ядер. М., Наука, 1974;
И.Н.Михайлов, Е.Наджаков, Д.Караджов. ЭЧАЯ, 4, 311 /1973/;
N.I.Pyatov, *Ark.Fys.*, 36, 667 /1967/;
F.A.Gareev, S.P.Ivanova, L.A.Malov, V.G.Soloviev. *Nucl. Phys.*, A171, 134 /1971/;

Ф.А.Гареев, С.П.Иванова, В.Г.Соловьев, С.И.Фе-
олопов. ЭЧАЯ, 4, 375 /1973/.

4. О.Бор, Б.Моппельсон. Структура атомного ядра., М.,
Мир , 1971.

Рукопись поступила в издательский отдел
1 апреля 1976 года.